

I-55 ハイブリッドプレートガーダーの曲げ耐荷力に関する実験的研究(続)

大阪大学工学部 正員 前田幸雄
川崎製鉄 村田勝弘
大阪大学工学部 学生員○川井 豊

1. まえがき 軽量で効率の良いプレートガーダーとして、高張力鋼を有効な部分にのみ用いるハイブリッドガーダー(混成桁)を考えられてきた。大阪大学ではこのハイブリッドガーダーの实用性を検討するため、昨年より静的曲げに関する一連の実験を行なってきた。今回の実験では、昨年のSM58(フランジ)-SM50(ウエブ)の組合せより、ハイブリッド性状を強くした、SM58圧縮フランジ-SS41(ウエブ)-HT80(引張フランジ)の組合せで、圧縮引張フランジの断面積を異にする上下非対称なハイブリッドプレートガーダーについて、腹板パネルの形状係数(アスペクト比) α 、腹板細長比 β 、補剛材剛比 γ をパラメーターとし、曲げ剛度、曲げ耐荷力、フランジ金具合の断面等を実験的に研究した。

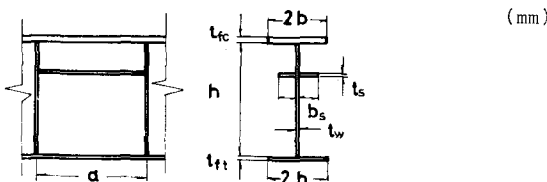
2. 実験 全長6.3"(4本)、5.8"(3本)、3.3"(1本)計8本の実験桁は、Table 1に示す如き諸元をもつテストパネル、支点と載荷点間の支持パネル、載荷床とテストパネル間の側方パネルから成り立つ。実験桁は大別して、アスペクト比 α が0.5のAL桁と1.0のBL桁の2種類あり、おののの腹板細長比 β を1/50~300迄50までに変化させてある。圧縮フランジ寸法は、歪硬化に達する塑性局部屈屈を生じない様定められ、水平補剛材は最小剛比の4~6.5倍(Table 1の γ)とし、垂直補剛材と圧縮フランジ、垂直補剛材と水平補剛材を密接により連結している。使用鋼材は、圧縮フランジSM58、腹板SS41、引張フランジHT80、補剛材SM50で、引張試験の結果、夫々の降伏点はSM58: $\sigma_y = 53.6 \text{ kg/mm}^2$ 、SS41: $\sigma_y = 30.1 \text{ kg/mm}^2$ 、HT80: $\sigma_y = 84.3 \text{ kg/mm}^2$ 、SM50: $\sigma_y = 36.8 \text{ kg/mm}^2$ を得た。実験装置及び測定装置は昨年の装置をそのまま用い、200トン油圧ジャッキ2基で下方向より載荷し、載荷床間のテストパネル及び側方パネルに純曲げを与えた。但し、AL-4のみは、片側P₀、片側1.5P₀を載荷し、曲げ剪断の組合せテストとした。

3. 実験結果と考察

(1) 桁の挙動 ハイブリッドガーダーでは、木モジニアスガーダー(均質桁)と異なり腹板の降伏が先行する。今回の実験では、フランジ材と腹板材の降伏応力の差が大きいため、最終耐荷荷重の1/3~1/2の荷重(腹板降伏荷重)から、歪み観みは非線形となるが、フランジが最終耐荷荷重近辺まで、弹性範囲内にあって荷組としての作用を果してゐる。

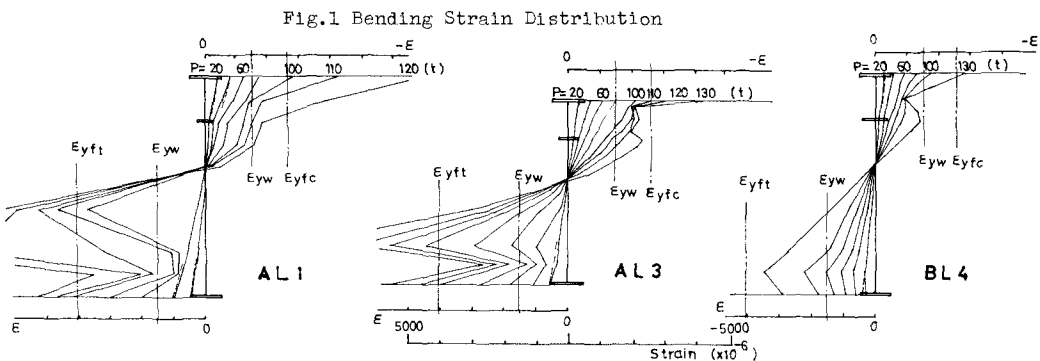
Table 1. Dimensions of Test Girders

GIRDER	COMP.FLG. (2bx t_{fc})	TENS.FLG. (2bx t_{fe})	WEB (hxt t_w)	$\beta = \frac{h}{t_w}$	$a = \frac{b}{t_{fc}}$	$b = \frac{b}{t_{fe}}$	$\frac{A_w}{A_{fc}}$	γ/γ^*
AL-1	200x12.9	200x8.0	675x4.8	141	0.50	7.75	1.26	4.0
AL-2	"	"	900x4.8	188	"	"	1.67	4.5
AL-3	"	"	1125x4.8	234	"	"	2.09	5.2
AL-4	"	"	1350x4.8	281	"	"	2.51	5.9
BL-1	"	"	675x4.8	141	1.00	"	1.26	5.3
BL-2	"	"	900x4.8	188	"	"	1.67	5.7
BL-3	"	"	1125x4.8	234	"	"	2.09	6.1
BL-4	"	"	1350x4.8	281	"	"	2.51	6.5



その後、フランジを降伏するが、フランジが降伏した時段では桁は破壊せず、フランジ歪が降伏歪をはるかに越えた後に、圧縮フランジの塑性局部座屈で破壊した。

(2) 断面の曲げ歪分布 Fig.1はAL桁BL桁の曲げ歪分布の代表例を示している。腹板優先は、断面の曲げ歪分布は、弹性性り理論によるものと一致している。腹板降伏後、歪の分布型は乱れを生ずるが、フランジ棒組が腹板歪の塑性流れを拘束しているのが判る。腹板座屈による応力(歪)の欠損部は、 $\beta=300$ の桁にありて、腹板圧縮側端が降伏する以前に生じ、 $\beta \leq 250$ の桁では腹板の弹性座屈現象は見られなかった。

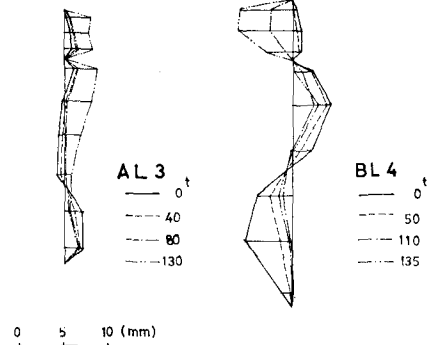


(3) 腹板横撓み 今回の実験桁の最大初期撓みは、最大パネルをもつBL-4桁で板厚の1.08倍、最小パネルをもつAL-1桁で板厚の0.12倍であった。Fig.2はテストパネル中央の腹板撓み形を示している。荷重の増加と共に、曲率の数(波数)はそのままか、もしくは増加し引張側腹板の横撓みは減少、圧縮側で増加する。しかし、その形状は必ずしも初期撓みの増大形とはなってない。

(4) 圧縮フランジの歪分布 Fig.3に水平座屈を生じた桁の代表例と、水平座屈を生じなかつたAL-1の圧縮フランジの歪分布を示す。水平座屈を生じた桁では、圧縮フランジの歪が降伏歪を越えて間もなく、歪の反転を生じているが、この荷重では桁は破壊しておらず、未だ耐荷力を示している。

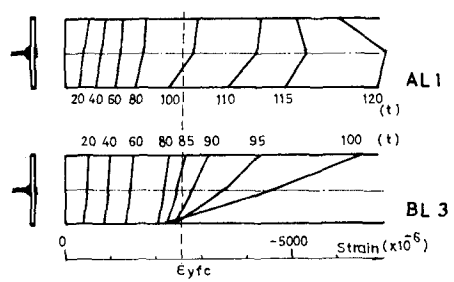
(5) 水平補剛材の効果 Fig.1を見れば、水平補剛材が腹板座屈後、圧縮フランジと肩構棒組としての働きをしている。AL桁にありてはテストパネル内の水平補剛材を、側方パネル延長せず、曲げパネル全長にわたり連続していないので、アンカーの不足から軸力の伝達が不完全となった。このことから、最小割度の数倍大きな断面をもつ水平補剛材を、両端のアンカーを完全にして用い、かつ水平補剛材と直角補剛材(直角補剛材)と圧縮フランジとの交点を密接に連結すれば、腹板座

Fig. 2 Lateral Web Deflection



0 5 10 (mm)

Fig. 3 Strain Distribution on Compression Flange



屈筋重の向上的効果の他に、最終耐荷力近辺までフランジと共に構成作用を維持し、後座屈強度の向上に有効な働きを示すことが判る。

(6) フランジ釣り合ひ断面積比 圧縮引張フランジにも異種の鋼材(SM58とHT80)を使用するため、両フランジが同時に降伏する様な上下フランジの断面積比 $\alpha = A_{fc}/A_{ft}$ を至の平面保持の仮定と応力の釣り合ひ式から求め、実験桁の引張側フランジ断面を定めた。

$$\alpha = \frac{G_{yw}}{G_{yt}} \left(\frac{G_{yc}}{G_{yt}} - \frac{A_w}{A_{fc}} \frac{G_{yt}-G_{yc}}{G_{yt}+G_{yc}} \right) \quad (1) \quad A_{fc}, A_{ft}, A_w \text{ はまく圧縮・引張フランジ及び腹板の断面積を表す。}$$

至の測定値より、上下フランジの歪が互々の降伏歪に達する荷重をみると、ほとんど同じ(5%前後の誤差荷重で降伏して)。この結果、腹板降伏後断面の歪分布が非線型になつても、平面保持を仮定して求めた簡略式(1)で断面積を定めても誤差は少ないと想われる。

(7) 最終耐荷力と破壊形式 桁の破壊形式、破壊位置、終局モーメント M_u をTable 2に示す。

ここで注目すべきことは、垂直座屈を生じた桁があり、均質桁の場合 Basler⁴⁾によれば無拘束で腹板の細長比 β が 345、その後の Cooper⁵⁾ の研究によれば水平拘束材を有する 3 行で β が 407 以下の桁では垂直座屈は生じないとしている。ところが、腹板とフランジの降伏応力の差を大きく混成した本実験桁では、 β が 150 の行で既にねじりを伴なつた垂直座屈を生じ破壊して。このことは、1961 年 U.S. Steel Corp. Applied Res. Lab. で行なわれたフランジ ASTM-A514、腹板 ASTM-A212 のハイブリッドプレートガーダーの実験で、 $\beta=200$ 以上で垂直座屈を生じた例と類似した結果である。ASTM-A514(フランジ)、ASTM-A36(腹板)の組合せで行なわれた Toprac⁶⁾ の実験では、 $\beta \geq 277$ で起つてあり、やや高 β の値

を示してあるが、これらのことから、ハイブリッド・プレートガーダーの垂直座屈を起さない β の限界値は均質な桁よりもかなり低い値である。

最終耐荷力が、 α, β をパラメーターとしてどの様に変化するかを知るために、規準荷重として全塑性モーメント M_p^{th} 及びフランジ降伏モーメント M_{yf}^{th} をとり、それらと実験による終局モーメント M_u との比と α, β の関係を表したのが Table 3 である。 $Q=0.75 P_f^{\text{th}}$ 程度の剪断が入った AL-4 行でのパネル平均曲げモーメントでみる限り、ほとんど曲げ耐荷力の低下はないのがわかる。

P_u	t	M_u	t^{th}	MODE	Location of Failure
AL1	130	130		V. B. T. B.	
AL2	85	170		V. B. L. B.	
AL3	132	232		V. B. L. B.	
AL4	127	274	243	V. B. L. B.	
BL1	62.5	125		T. B. V. B. L. B.	
BL2	85	170		V. B. L. B.	
BL3	110	220		V. B. L. B.	
BL4	147	257		V. B. L. B.	

V. B. Vertical Buckling
T. B. Torsional
L. B. Lateral

GIRDER	α	β	M_u	t^{th}	M_u/M_{yf}^{th}	M_p	M_u/M_p
AL-1	0.5	141	130	110	1.18	112	1.16
AL-2	"	188	170	154	1.10	158	1.08
AL-3	"	234	232	202	1.15	207	1.12
AL-4	"	281	(258)	255	1.01	261	(0.99)
BL-1	1.0	141	125	111	1.23	113	1.11
BL-2	"	188	170	156	1.09	160	1.06
BL-3	"	234	220	205	1.07	210	1.05
BL-4	"	281	257	259	0.99	265	0.97

Table 3. Ultimate Moment (t.m.)

M_u/M_{yf}^{th} , M_u/M_p^{th} が β と直線関係にあるとして、 $\alpha=0.5$, $\alpha=1.0$ について関係式を求めると、

$$\alpha=0.5 \text{ に対して, } M_u/M_{yf}^{\text{th}} = -0.001001\beta + 1.323, M_u/M_p^{\text{th}} = -0.001007\beta + 1.299 \quad (2)$$

$$\alpha=1.0 \text{ に対して, } M_u/M_{yf}^{\text{th}} = -0.00900\beta + 1.260, M_u/M_p^{\text{th}} = -0.000909\beta + 1.238 \quad (3) \text{ を得る。}$$

この実験式から $M_u/M_{yf}^{\text{th}} \geq 1$ とありて、フランジ降伏モーメント以上の曲げ耐荷力が保証される腹板細長比 β_0 が、 $\alpha=0.5$ に対して $\beta_0 = 323$, $\alpha=1.0$ に対して $\beta_0 = 289$ となることから、アスペクト比を小さくすることにより、腹板細長比の限界値を高め得ることが出来、わずかながら曲げ耐荷力の向上を期待し得ることが判る。又、ハイブリッドガーダーの耐荷力の特徴の一つとして $M_{yf}^{\text{th}}/M_p^{\text{th}}$ が 1.0 に近いことが、あげられ、今回の実験で M_u が M_{yf}^{th} を越えたものは、ほとんど M_p^{th} に達している。このことから、フランジの降伏に対して安全率をとり設計すれば、ハイブリッドガーダーは均質桁に比較して、非常に効率のよいプレートガーダーとなる。

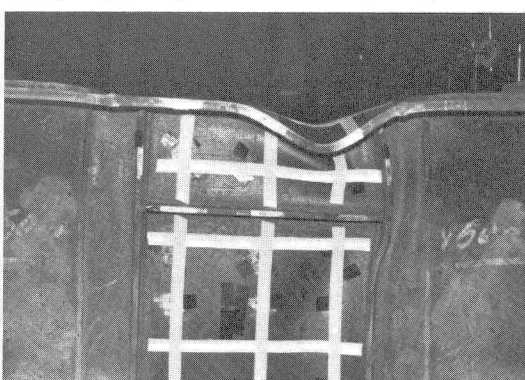


写真1. AL-1 破壊状況

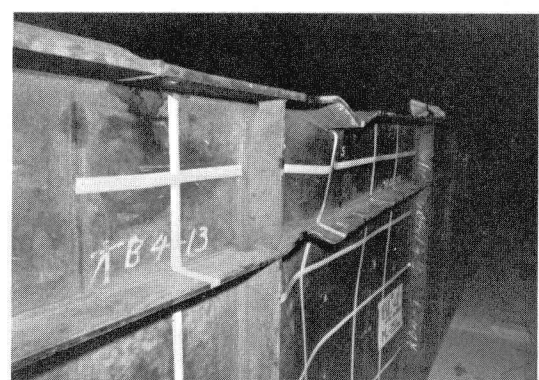


写真2. BL-4 破壊状況

- 参考文献
- 1) 前田幸雄 “プレートガーダーの曲げ強度の実験的研究” 土木学会 第25回年次学術講演会講演会集 昭和45年11月
 - 2) 前田・村田・川井宏原 “ハイブリッドプレートガーダーの曲げ耐荷力に関する実験的研究” 関西支部 年次学術講演概要 昭和46年5月に一部発表。
 - 3) Haafner, G. "Plate Buckling in the Strain-hardening Range" ASCE Journal 83(EM2) April 1952
 - 4) Basler, K. & B. Thürlemann, "Strength of plate girders in bending" Proc. ASCE VOL.87. ST2 1957
 - 5) Cooper, P.B. "Strength of longitudinally stiffened plate girders" Proc. ASCE V61.93. ST2 1967
 - 6) Hai Sang Lew, A. Anthony Toprac "Strength of hybrid plate girders" S.F.R.L. Tech. Rpt. p.550-11. University of Texas.
 - 7) "Design of Hybrid Steel Beams" Report of the Subcommittee 1 on Hybrid Beams and Girders Joint ASCE-AASHO Committee on Flexural Members, Proc. ASCE ST6, June 1968